

Lista G

PME 3380 - Modelagem

Nathan Daleffi Rodrigues Rayes

10772585



Escola Politécnica
Universidade de São Paulo
São Paulo
2020

1 Parte I

a) Questão 1

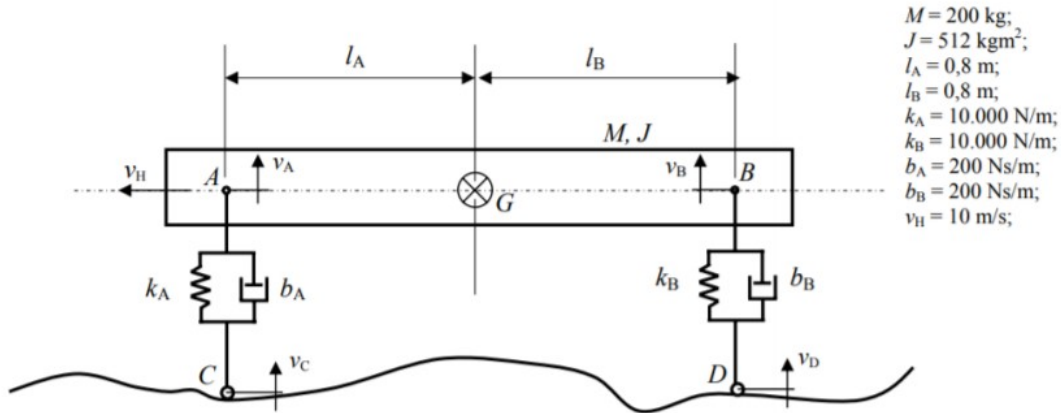


Figura 1 – Esquema do 1/2 de carro a ser analisado

O problema de 1/2 de carro foi desenvolvido e mostrado a seguir, todos os passos são descritos nessa imagem com destaque à representação no espaço de estados no fim da página:

NATHAN DALEFFI RODRIGUES RAYES 10772585

$$\begin{aligned}
 & \text{Free body diagram: } \\
 & \quad \text{Forces: } \vec{v}_H, \vec{G}, M, J, \vec{\alpha}, \vec{b}_A(x_A - x_C), \vec{b}_B(x_B - x_D), \vec{k}_A(x_A - x_C), \vec{k}_B(x_B - x_D) \\
 & \quad \text{Motions: } \vec{x}_A, \vec{x}_B, \vec{x}_C, \vec{x}_D, \vec{\omega}, \vec{\dot{\omega}} \\
 & \Rightarrow M_G^{\text{ext}} = m(\vec{v}_H - \vec{G})x_A \vec{a}_G + \frac{d}{dt}(J_G(\vec{\omega})) \\
 & \Rightarrow M_G^{\text{ext}} = -(l_A \cos \alpha) \vec{i} \times [-(k_A(x_A - x_C) + b_A(\dot{x}_A - \dot{x}_C)) \vec{j}] + \\
 & \quad + (l_B \cos \alpha) \vec{i} \times [-(k_B(x_B - x_D) + b_B(\dot{x}_B - \dot{x}_D)) \vec{j}] \\
 & \Rightarrow \vec{M}_G^{\text{ext}} = J \vec{\dot{\omega}} = l_A k_A(x_A - x_C) - l_B k_B(x_B - x_D) + l_A b_A(\dot{x}_A - \dot{x}_C) - l_B b_B(\dot{x}_B - \dot{x}_D) \\
 & \Rightarrow m \vec{a}_G = -k_A(x_A - x_C) - b_A(\dot{x}_A - \dot{x}_C) - k_B(x_B - x_D) - b_B(\dot{x}_B - \dot{x}_D) \\
 & \Rightarrow \dot{x}_A = V_G - l_A \omega; \quad \dot{x}_B = V_G - l_B \omega
 \end{aligned}$$

$$\begin{aligned}
 & \Rightarrow \dot{x}_a = V_G - l_a w ; \quad \dot{x}_B = V_G - l_B w \\
 & \Rightarrow \dot{V}_G = \frac{-Kx_A}{m} - \frac{K_B x_B}{m} - \frac{b_a}{m}(V_G - l_a w) - \frac{b_B}{m}(V_G + l_B w) \\
 & \quad + \frac{K_A}{m} x_C + \frac{K_B}{m} x_D + \frac{b_a}{m} \dot{x}_C + \frac{b_B}{m} \dot{x}_D \\
 & \Rightarrow \dot{w} = \frac{l_a K_A}{J} x_A - \frac{l_B K_B}{J} x_B + \frac{l_a b_a}{J} (V_G - l_a w) - \frac{l_B b_B}{J} (V_G + l_B w) - \frac{l_A K_A}{J} \dot{x}_C \\
 & \quad + \frac{l_B K_B}{J} \dot{x}_D - \frac{l_a b_A}{J} \dot{x}_C + \frac{l_B b_B}{J} \dot{x}_D \Rightarrow \dot{x} = A x + B u \Rightarrow \\
 & \Rightarrow \begin{bmatrix} \dot{x}_A \\ \dot{x}_B \\ \dot{V}_G \\ \dot{w} \end{bmatrix} = \begin{bmatrix} 0 & 0 & 1 & -l_A \\ 0 & 0 & 1 & +l_B \\ -\frac{K_A}{m} & -\frac{K_B}{m} & -\frac{(b_a+b_B)}{m} & \frac{l_a-l_B}{m} \\ \frac{l_a K_A}{J} & \frac{-l_B K_B}{J} & \frac{l_a b_A}{J} & -\frac{(b_A^2+b_B^2)}{J} \end{bmatrix} \begin{bmatrix} x_A \\ x_B \\ V_G \\ w \end{bmatrix} + \begin{bmatrix} 0 & 0 & 0 & 0 \\ 0 & 0 & 0 & 0 \\ K_A/m & K_B/m & b_A/m & b_B/m \\ \frac{l_a K_A}{J} & \frac{l_B K_B}{J} & \frac{-l_a b_A}{J} & \frac{l_B b_B}{J} \end{bmatrix} \begin{bmatrix} x_C \\ x_D \\ \dot{x}_C \\ \dot{x}_D \end{bmatrix}
 \end{aligned}$$

A simulação do modelo desenvolvido acima foi executada para os três cenários a seguir:

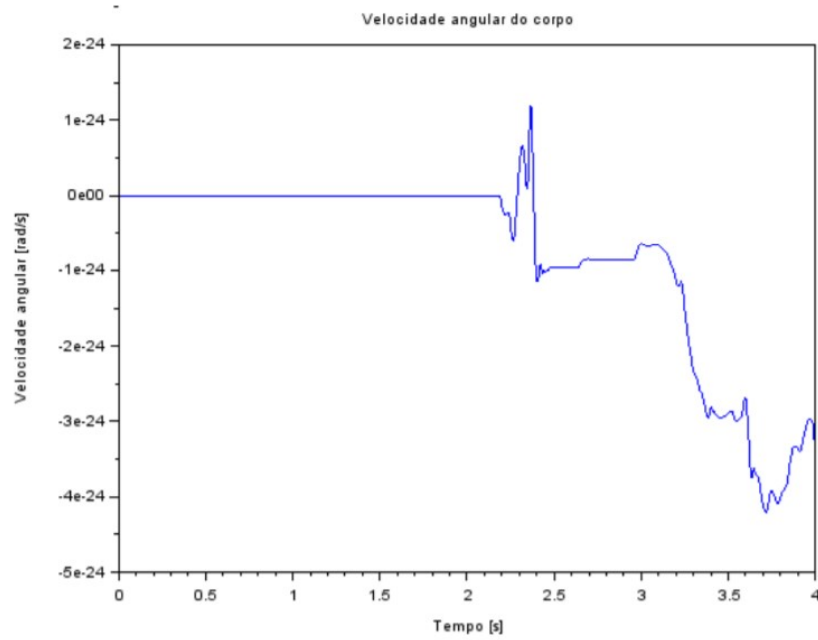
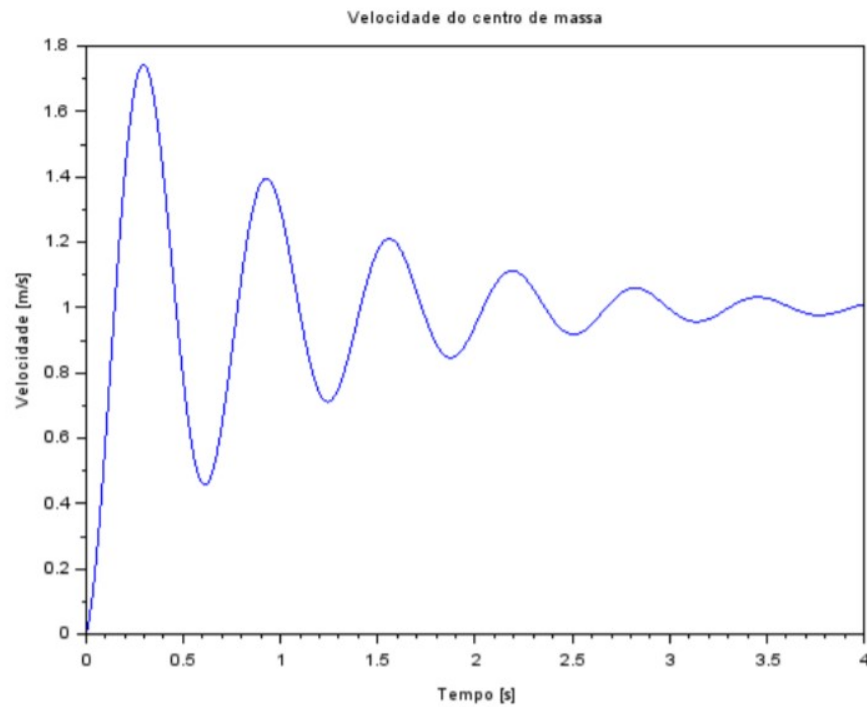
Cenário 1

$$u = [v_c \ v_d] \quad (1)$$

Com as seguintes restrições:

$$\begin{cases} v_c = 0 \text{ se } t < 0 \\ v_c = 1 \text{ se } t > 1 \\ v_d = 0 \text{ se } t < t_d \\ v_d = 1 \text{ se } t > t_d \end{cases} \quad (2)$$

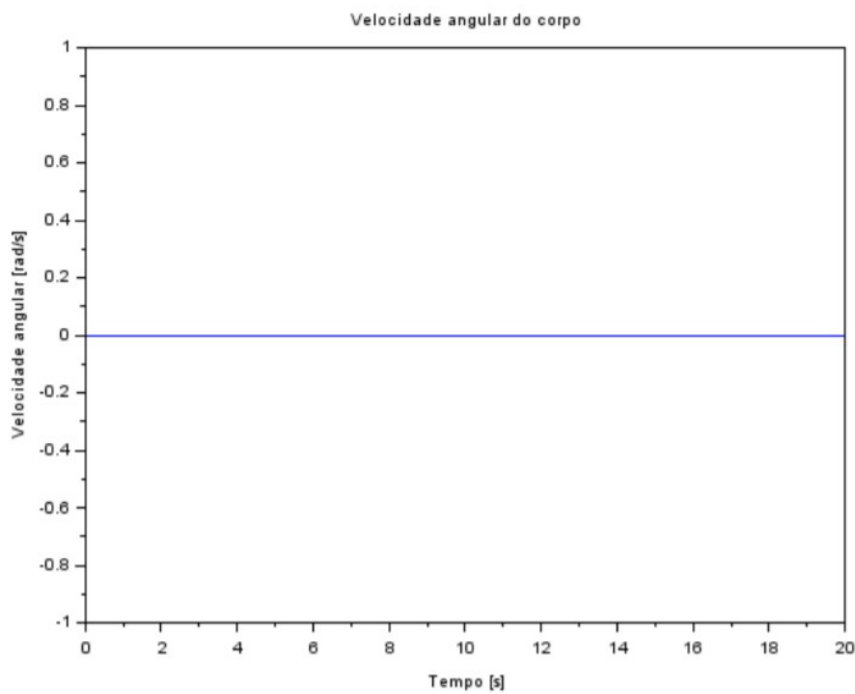
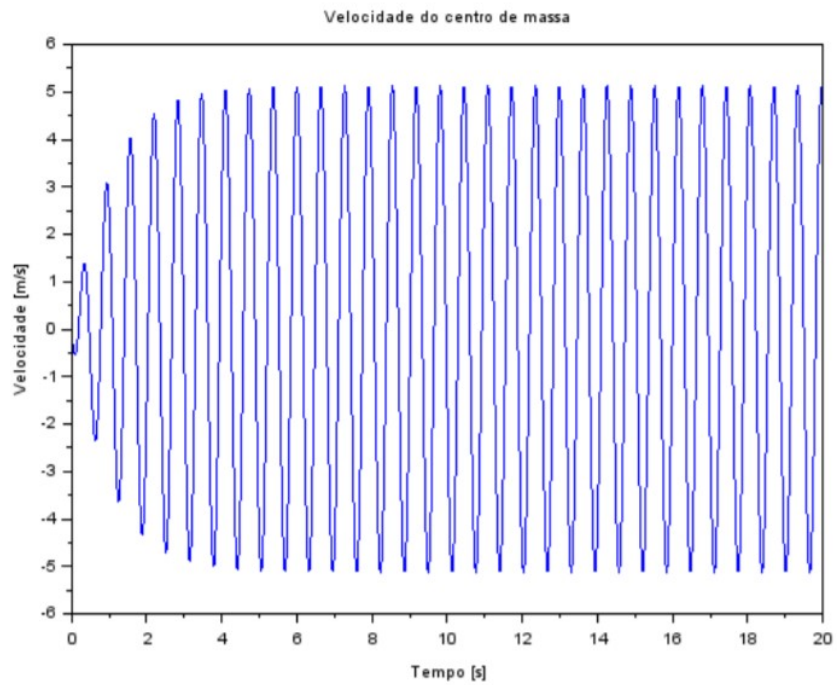
Os resultados foram os seguintes:



Cenário 2

$$u = \begin{bmatrix} v_c & v_d \end{bmatrix} = \begin{bmatrix} \sin 9,8995t & \sin 9,8995t \end{bmatrix} \quad (3)$$

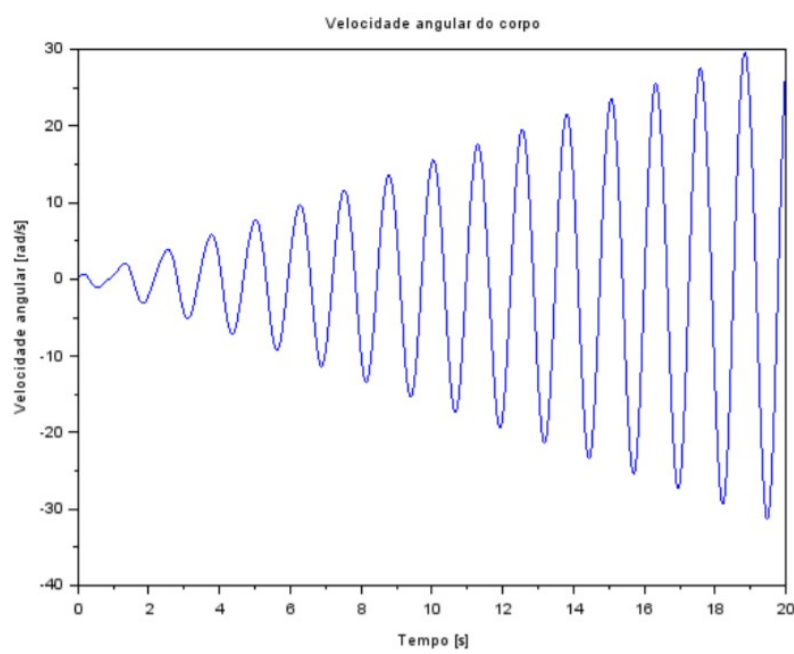
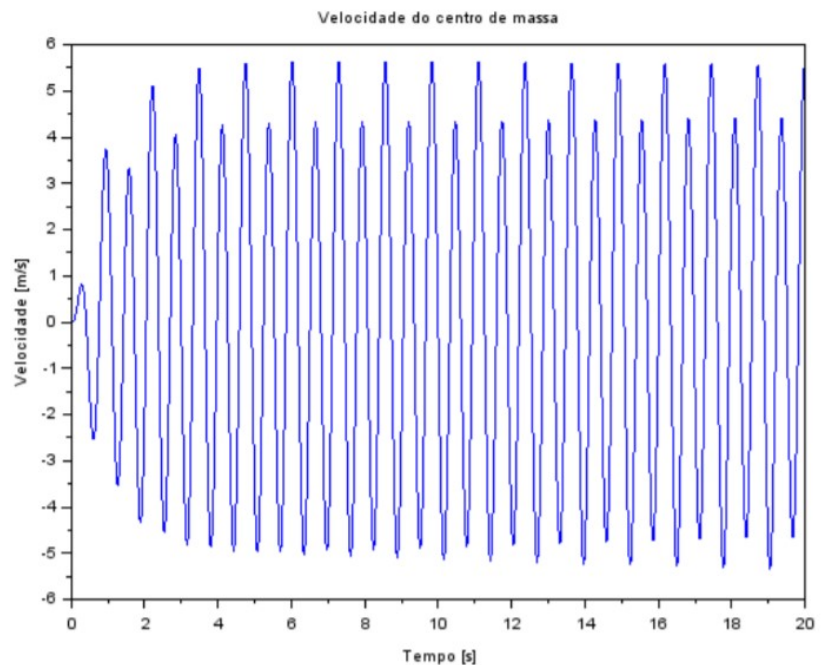
Os resultados foram os seguintes:



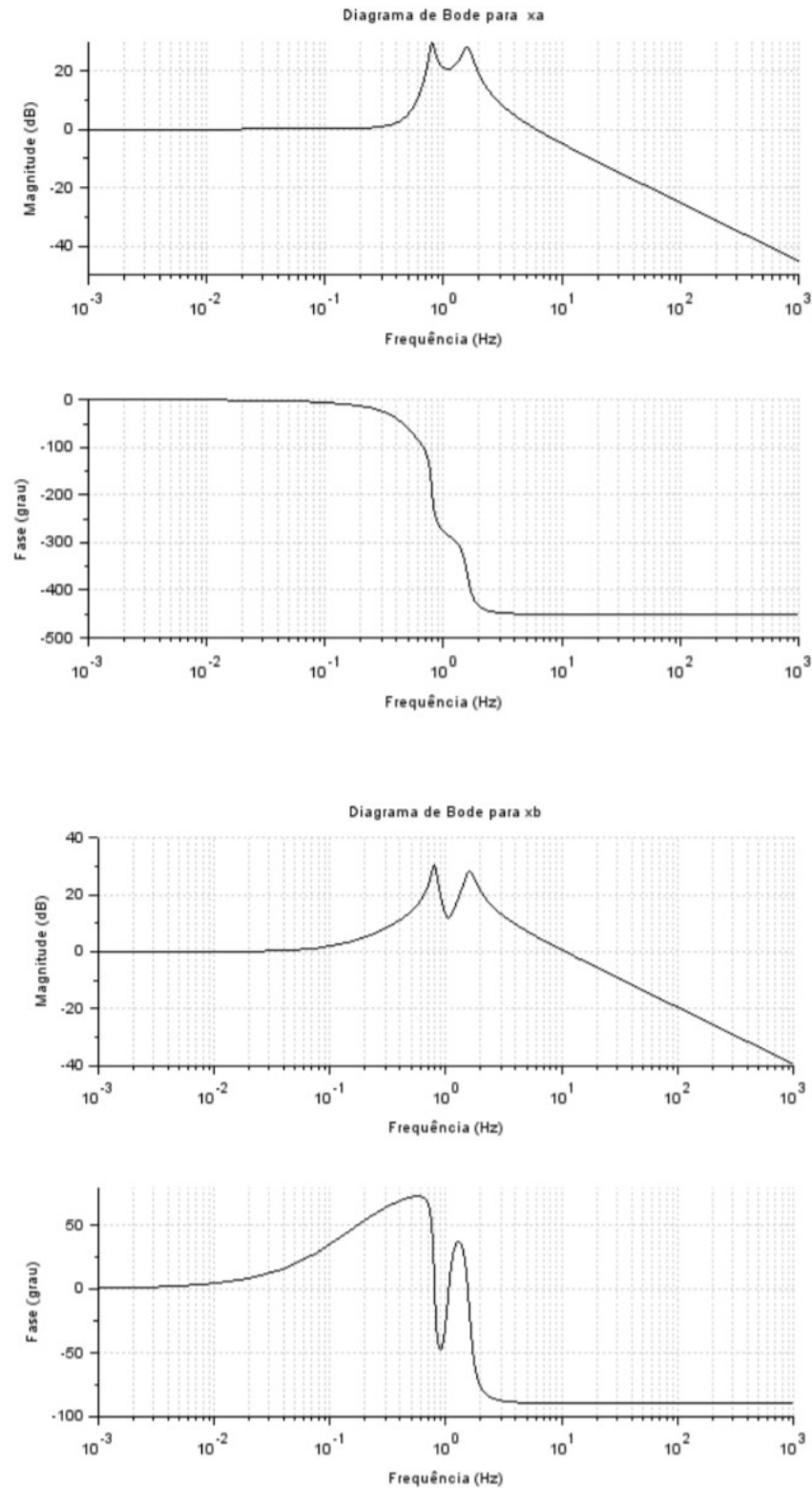
Cenário 3

$$u = \begin{bmatrix} v_c & v_d \end{bmatrix} = \begin{bmatrix} \sin 4,9875t & -\sin 4,9875t \end{bmatrix} \quad (4)$$

Os resultados foram os seguintes:



Os resultados no domínio da frequência são os seguintes:



Apêndice com o código utilizado

```

1 clear all;
2 M = 200;
3 J = 512;
4 la = 0.8;

```

```

5 lb = 0.8;
6 ka = 10000;
7 kb = 10000;
8 ba = 200;
9 bb = 200;
10 vh = 10;
11 td = (la + lb)/vh;
12
13 t_0 = 0;
14 t_f = 1;
15 t = linspace(t_0,t_f,100);
16
17 xa0 = 0;
18 xb0 = 0;
19 vg0 = 0;
20 w0 = 0;
21
22 function dy=X(t, y)
23 dy(1) = y(3) - la*y(4);
24 dy(2) = y(3) + lb*y(4);
25 dy(3) = -(ka/M)*y(1) - (kb/M)*y(2) - ((ba + bb)/M)*y(3) + ((ba*la -
26 bb*lb)/M)*y(4) + (ka/M)*u1(t) + (kb/M)*u2(t) + (ba/M)*u3(t) +
27 (bb/M)*u4(t);
28 dy(4) = (la*ka/J)*y(1) - (lb*kb/J)*y(2) + ((la*ba - lb*bb)/J)*y(3) -
29 ((ba*la^2 - ba*la^2)/M)*y(4) - (la*ka/J)*u1(t) + (la*ka/J)*u2(t) -
30 (la*ba/J)*u3(t) + (lb*bb/J)*u4(t);
31 endfunction
32 r = ode([xa0;xb0;vg0;w0],0,t,X);
33 xa = r(1,:);
34 xb = r(2,:);
35 vg = r(3,:);
36 w = r(4,:);
37
38 f1 = scf(1)
39 xtitle("Velocidade do centro de massa");
40 xlabel("Tempo [s]");
41 ylabel("Velocidade [m/s]");
42 plot(t,vg);
43
44 f2 = scf(2)
45 xtitle("Velocidade angular do corpo");
46 xlabel("Tempo [s]");
47 ylabel("Velocidade angular [rad/s]");
48 plot(t,w);
49
50 A = [0,0,1,-la;0,0,1,lb;-ka/M,-kb/M,-(ba+bb)/M,(ba*la - bb*lb)/M;la*ka/J,-
51 lb*kb/J,(la*ba-lb*bb)/J,-(ba*la^2 + bb*lb^2)/J];

```

```
52 B = [0 ,0 ,0 ,0;0 ,0 ,0;ka/M, kb/M, ba/M, bb/M;-la*ka/J ,lb*kb/J,-la*ba/J ,lb*bb/J  
];  
53 sistema = syslin( 'c ',A,B,[1 ,1 ,1 ,1]);  
54  
55 G = ss2tf(sistema);  
56 f3 = scf(3);  
57 bode(G(1,1));
```